



**MATEMATICKO-FYZIKÁLNÍ
FAKULTA**
Univerzita Karlova

BAKALÁŘSKÁ PRÁCE

Zuzana Šimečková

Varianty Eberhardovy věty

Informatický ústav Univerzity Karlovy

Vedoucí bakalářské práce: doc. Mgr. Robert Šámal, Ph.D.

Studijní program: Informatika

Studijní obor: IOI

Praha 2018

Prohlašuji, že jsem tuto bakalářskou práci vypracoval(a) samostatně a výhradně s použitím citovaných pramenů, literatury a dalších odborných zdrojů.

Beru na vědomí, že se na moji práci vztahují práva a povinnosti vyplývající ze zákona č. 121/2000 Sb., autorského zákona v platném znění, zejména skutečnost, že Univerzita Karlova má právo na uzavření licenční smlouvy o užití této práce jako školního díla podle §60 odst. 1 autorského zákona.

V dne

Podpis autora

Poděkování.

Název práce: Varianty Eberhardovy věty

Autor: Zuzana Šimečková

Ústav: Informatický ústav Univerzity Karlovy

Vedoucí bakalářské práce: doc. Mgr. Robert Šámal, Ph.D., Informatický ústav Univerzity Karlovy

Abstrakt: Abstrakt.

Klíčová slova: klíčová slova

Title: Eberhard-Like Theorems

Author: Zuzana Šimečková

Institute: Computer Science Institute of Charles University

Supervisor: doc. Mgr. Robert Šámal, Ph.D., Computer Science Institute of Charles University

Abstract: Abstract.

Keywords: key words

Obsah

Úvod	2
1 Pojmy a definice	3
1.1 sekce 1	3
2 Konstrukce důkazu	4
2.1 Triarky a operace s nimi	4
2.2 Důkaz za předpokladu existence pomocných grafů	5
3 Řešítka	7
4 Formát PDF/A	10
Závěr	11
Seznam obrázků	12
Seznam tabulek	13
Seznam použitých zkratk	14
A Přílohy	15
A.1 První příloha	15

Úvod

Zkusíme-li upravovat Eulerův vzorec pro rovinné grafy $|V| - |E| + |S| = 2$, můžeme pro kubické grafy dospět do tvaru

$$\sum_{k \geq 3} (6 - k)p_k = 12, \quad (1)$$

kde p_k značí počet k -hranných stěn grafu. Výraz (1) je nutnou podmínkou pro rovinnost kubického grafu. Pozoruhodně, počet šestihranných stěn v této podmínce nehraje žádnou roli. Toho si všiml Victor Eberhard a v roce 1981 formuloval a dokázal, že pokud můžeme volit p_6 , dokážeme najít graf zadaný počtem ostatních stěn, který je rovinný.

Abychom mohli větu formulovat formálně, je nutné definovat přijatelné posloupnosti: posloupnost $(p_k) = (p_3, p_4, \dots)$ kladných celých čísel je přijatelná, pokud existuje rovinný kubický 3-spojité graf, který má právě p_k k -hranných stěn.

Přidáním podmínky na 3-spojitosť získáváme jen grafy, které (podle Steinitzovy věty) odpovídají konvexním 3-polytopům. Ekvivalentně lze tedy přijatelnou posloupnost definovat následovně:

Definice 1 (Přijatelná posloupnost). *Posloupnost $(p_k) = (p_3, p_4, \dots)$ kladných celých čísel je přijatelná, pokud existuje jednoduchý (vrcholy mají stupeň 3) 3-polytop, který má právě p_k k -hranných stěn.*

Formulujme nyní Eberhardovu větu //TODO odkaz:

Věta 1 (Eberhardova věta). *Pro každou posloupnost $(p_k | 3 \leq k \neq 6)$ kladných celých čísel, splňující (1) existuje taková hodnota p_6 , že $(p_k | k \geq 3)$ je přijatelná.*

1. Pojmy a definice

1.1 sekce 1

Definice:

TODO zmínit, že o triarku často budeme mluvit jako o trojúhelníku (rovno-
ramenný, základna...)

TODO řešítko neumí udržovat poměry stěn z neutrální posloupnosti

TODO zavést, že z posloupnost x získáme množinu velikostí stěn, které jsou
v x nenulové jako X

2. Konstrukce důkazu

Představme hypotézu, kterou se snažíme ověřit.

Hypotéza 2. Pro každou přípustnou posloupnost $p = (p_k | 3 \leq k \neq 6)$ a neutrální posloupnost $q = (q_k | 3 \leq k \neq 6)$, existuje takové přirozené n , že $p + nq$ je přijatelná.

TODO zmínit výjimku pro torus.

V článku TODO odkaz autoři naznačují konstrukci důkazu, za předpokladu, že existují nějaké pomocné grafy. V další kapitole představíme způsob, jak takové grafy hledat. Teď se zaměříme na důkaz samotný, respektive nejprve představíme graf, který v důkazu pomáhal již Eberhardovi.

2.1 Triarky a operace s nimi

Definice 2 (Triark). **Triark** je takový rovinný graf T , že vrcholy jeho vnější stěny tvoří cyklus C , každý vnitřní vrchol (tj. vrcholy $T - C$) má v T stupeň právě 3 a v C jsou tři navzájem různé vrcholy x, y, z stupně 2 - **rohy**, že vrcholy každé ze tří cest v C , které vzniknou odstraněním rohů z C , mají střídavě stupeň 2 a 3, počínaje i konče stupněm 2.

Strana triarku je každá z výše zmíněných cest v C , ke které na oba konce připojíme i příslušný roh.

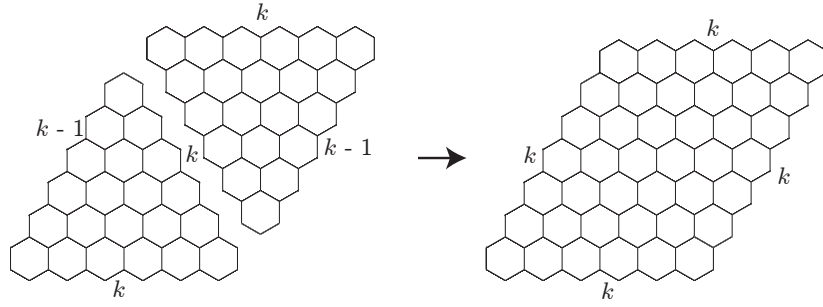
Délka strany triarku odpovídá počtu jejích vnitřních vrcholů stupně 2 v T .

O triarku se stranami délky a, b, c mluvíme jako o (a, b, c) -**triarku**. Poznamenejme, že na pořadí stran v názvu nezáleží (odpovídají rotacím). Později využijeme ještě dalšího značení. M -**triark** má vnitřní strany pouze velikostí z M . U triarku přejímáme některé termíny používané pro trojúhelníky a jejich význam bude vždy intuitivní.

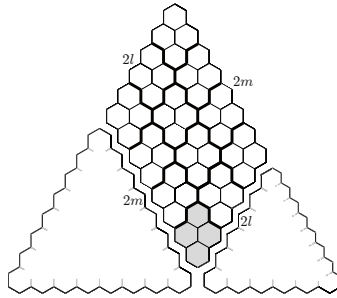
Zmiňme velmi užitečnou vlastnost triarků: pokud máme dva triarky, oba mající stranu stejné délky, můžeme je za tuto stranu slepit a získáme opět graf, jehož vnitřní vrcholy mají stupeň 3. (Při slepování se ztotožní vždy vrchol stupně 2 s vrcholem stupně 3.) Pokud slepíme triarky tak, že protější strany výsledného grafu budou stejně dlouhé (tedy speciálně při slepení dvou stejných triarků), budeme podle jeho tvaru mluvit o **rovnoběžníku**. Rovnoběžníky jdou navíc slepovat podobně jako triarky a můžeme tím každý již existující rovnoběžník zvětšit na libovolný rozměr, který je násobkem jeho původních rozměrů.

Mohli bychom ale chtít spojit triarky tak, aby výsledkem byl opět triark. Mějme (a_1, b_1, c_1) -triark a (a_2, b_2, c_2) -triark a vhodný rovnoběžník. Slepěním jako na TODO odkaz vznikne $(a_1 + a_2, b_1 + b_2, c_1 + c_2)$ -triark.

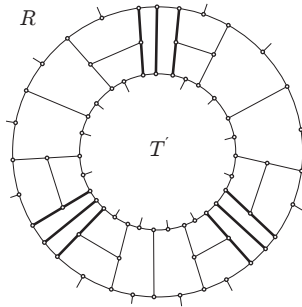
A závěrem budeme chtít spojit dva triarky tak, aby výsledkem byl kubický graf (tedy aby nevznikly žádné nové stěny s vrcholy stupně dva). Graf, který má tuto funkci označíme za **prstenec**. Jde o souvislý graf, ve kterém můžeme vyznačit dva disjunktní cykly tak, že stupně vrcholů každého cyklu jsou opačné než stupně příslušných triarků, které chceme spojit. Kde opačně znamená záměna dvoj- a tří- vaznosti vrcholů. Způsob spojení odpovídá přesně zavedení definice, ale je znázorněno i na obrázku TODO odkaz.



Obrázek 2.1: Spojení dvou triarků za vzniku rovnoběžníku.



Obrázek 2.2: Spojení triarků spolu s rovnoběžníkem za vzniku triarku.



Obrázek 2.3: Spojení triarků prstencem za vzniku kubického grafu.

TODO připravit vlastní obrázky (které víc odpovídají popiskům) pro ukázkou slepování.

2.2 Důkaz za předpokladu existence pomocných grafů

Převédme hypotézu ve větu.

Věta 3. *Mějme přípustnou posloupnost $p = (p_k | 3 \leq k \neq 6)$ a neutrální posloupnost $q = (q_k | 3 \leq k \neq 6)$ a následující grafy pro nějaké přirozené k :*

- (i) $(k, k, k), Q$ -triark;
- (ii) $(k, k, k - 1), Q$ -triark;
- (iii) *rovnoramenný $Q \cup \{1\}$ -triark, délky jehož stejných stran jsou dělitelné k a který obsahuje právě jednu stěnu velikosti l pro každé nenulové p_l v p , této*

stěně říkáme **jádro** triarku;

(iv) prstenec, který dokáže spojit dva stejně velké, rovnostranné triarky.

Pak existuje takové přirozené n , že $p + nq$ je přijatelná.

Myšlenka důkazu pak není příliš složitá: každou stěnu ze zadané posloupnosti p zabalíme do triarku (iii), připravíme si pomocné lepící a zkrášlující prvky (ii), díky kterým získáme jediný velký rovnostranný triark. K němu zkonstruuujeme ještě jeden se stejně dlouhými (i) a pomocným prstencem je spojíme v kýžený graf (iv). Všechny tyto pomocné objekty jsou totiž (kromě jader) jen ze stěn, které jsou v zadané neutrální posloupnosti, lepící operace zachovávají kubičnost uvnitř grafu a prstenec pak spojí dva triarky v hledaný kubický graf.

Důkaz. Nejprve slepíme dva $(k, k, k-1)$ -triarky za stěnu délky k a získáme rovnoběžník se všemi stranami délky k . A díky slepování můžeme získat i libovolný rovnoběžník o rozměrech mk, lk pro m, l přirozená. Poté postupně spojujeme jednotlivé jádrové triarky za pomoci příslušného lichoběžníku, dokud nezískáme jediný triark, který obsahuje všechny stěny z P .

Zkusme vzniklý triark upravit na rovnostranný. Při slepování triarků se velikosti výsledných stran rovnají součtům původním. Pokud tedy slepujeme s $(k, k, k-1)$ -triarkem, zmenšíme vždy tu stěnu, na kterou připadne rozměr $k-1$, vůči ostatním. Takže pokud budeme opakovat lepení výsledného triarku, v každém kroku se součet rozdílů mezi stranami zmenší a tedy nutně získáme rovnostranný triark. Modifikujme ho stejnou operací, aby zůstal rovnostranný, ale navíc délka jeho stran byla násobkem k a označme výsledný triark T_1 .

Slepováním (k,k,k) -triarků z (i) spolu s k,k rovnoběžníky získáme druhý triark T_2 o stejném rozměru jako T_1 . Kdybychom celý problém řešili na tóru, stačilo by T_1 a T_2 spojit do rovnoběžníku a sjednotit odpovídající strany. Na kouli místo toho použijeme prstenec z (iv). Tím získáme graf, který je kubický, rovinný a obsahuje požadované stěny.

TODO Možná poznamenat, že tím v podstatě je dokázána i verze věty, kde poslední řádek zní Pak existuje nekonečně mnoho takových přirozených n , že $p + nq$ je přijatelná.

3. Řešítko

Abychom mohli dokončit důkaz věty /TODO odkaz/ nebo alespoň některých jejích instancí, potřebujeme získat požadované stavební bloky. Nabízí se naprogramovat řešítko, které bude umět alespoň některé typy hledaných grafů najít. Hlavním cílem této práce bylo takový program připravit a pomocí něj získat lepší představu o potenciálu uvedené konstrukce důkazu.

Program na vstupu očekává zadání vnější stěny: každý vrchol je zastoupen jedním bitem, který určuje, zda má být ve výsledném grafu stupně 2 nebo 3. Navíc očekává seznam velikostí stěn, které má využít. Na výstupu informuje, zda se mu daný graf podařilo najít (říkejme **vyplnit**), a umožní jej exportovat.

Postup hledání původně imitoval lidské pokusy o řešení problému: nakreslit si vnější stěnu, zkusit spojit nějaké dva vrcholy řetízkem vhodné délky (aby nově uzavřená stěna byla z neutrální posloupnosti) a dokud je místo na papíře, spojovat. Pak si překreslit nejvnitřnější, zatím neuzavřenou stěnu (budeme mluvit o **hranici**), ta se stane "vnější stěnou" TODO uvozovky? na novém papíře a pokračovat. V situaci, kdy nelze dál nic spojit, nebo je jasné, že graf nemůže vyhovovat parametrům, vrátit se podle uvážení zpět. Viz obrázek TODO odkaz.

Kdybychom chtěli znát jen ano/ne odpověď, jestli graf existuje, nebylo by vůbec třeba si pamatovat celý rozpracovaný graf, stačilo-by pracovat s hranicemi, které navíc stačí reprezentovat jako binární číslo. Výsledkem by pak mohla být jen posloupnost hranic, kterými se prošlo před uzavřením grafu, nebo samotné "ano/ne". Překvapivě obtížné je pak z této posloupnosti nestrojově získat skutečný graf, proto program nabízí i možnost graf dodatečně rekonstruovat podle prošlých stavů.

V tento okamžik je jasné, že problém je vlastně prohledávání v binárních řetězcích (které reprezentují hranice). Je proto vhodné zmínit, podle jakého kritéria se program rozhoduje, kterým směrem hledat dále. Implementace vždy upřednostňuje ke zpracování již nalezený řetězec nejmenší délky, a pro něj najde všechny další sousedy.

Aby toto prohledávání fungovalo dobře, je třeba trochu zkomplikovat reprezentaci hranice. Hlavním požadavkem bude identita mezi reprezentací (jediným binárním řetězcem) a všemi hranicemi (tedy cykly, na kterých vyznačené vrcholy ještě vyžadují dalšího souseda), které jsou pro algoritmus izomorfní - tedy všechny rotace a převrácení hranice.

Definice 3 (Hranice a její reprezentace). *Cyklus C a množinu $I \subseteq C(V)$ zveme hranicí H . Množina I jsou právě ty vrcholy, které ve výsledném vyplnění musí mít dalšího souseda. Pokud $i = \emptyset$, mluvíme o hranici přímo jako o stěně.*

Binární řetězec (číslo) reprezentující hranici H získáme následně: každý vrchol H označíme buď znakem 1 (jako 1 v "in" podle orientace pomyslené hrany) nebo 0 (jako 0 v "out"). Zaznamenejme pak všechny řetězce, které získáme čtením od každého vrcholu pro i proti směru hodinových ručiček. Ten z nich, který z nich má největší hodnotu (pokud řetězec chápeme jako binární číslo), je reprezentací hranice. Pokud $i = \emptyset$, pak přidejme speciální znak a zapamatujme počet vrcholů.

Pro lepší představu přikládáme posloupnost hranic, která řeší $(4,4,3)\{4,7\}$ triark. TODO obrázek s hranicemi + obrázky triarku

Pro jistotu poznamenejme, že pokud program hledaný graf nenašel, může, ale nemusí to znamenat, že neexistuje.

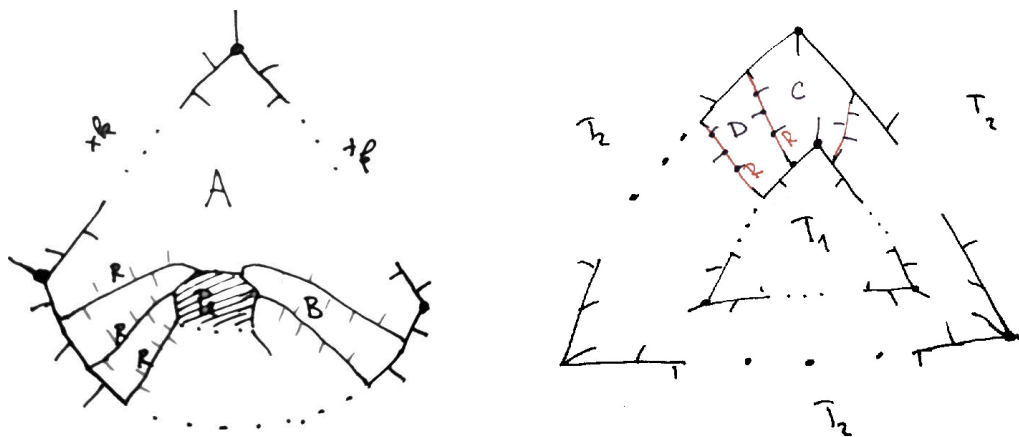
Podle předchozí kapitoly pro dokončení důkazu pro konkrétní dvojici p a q a nějaké přirozené k potřebujeme tyto čtyři typy grafů:

- (i) $(k, k, k), Q$ -triark;
- (ii) $(k, k, k - 1), Q$ -triark;
- (iii) $(mk, mk, x), Q \cup \{1\}$ -triark, kde je právě jedna stěna velikosti l ;
- (iv) prstenec, který dokáže spojit dva stejně velké, rovnostranné triarky.

Pro dané k získáme grafy (i) a (ii) z řešítky hned. Pro zbylé je nutné pomoci si konstrukcí.

Na graf (iii) se neumíme zeptat přímo, protože potřebujeme v grafu mít právě jednu stěnu délky p_l . Spojme proto stěnu s vnější stěnou triarku ručně a ptejme se na výplň vzniklých oblastí A a B . Ke spojení použijeme l kopií řetízku R , každý napojíme na jeden z vrcholů jádra a druhé konce spojíme s "in"vrcholy základny triarku. V řetízku navíc fixujeme, ve které straně od něj budou mít které jeho vrcholy třetího souseda (znázorněno šedě v obrázku TODO odkaz). Konstrukce je obecná pro všechny přípustné hodnoty l . Navíc není (při dobré volně R) vynucená ani příliš velká stěna, takže konstrukce může být obecná i pro všechny q (protože q je neutrální, tedy v ní musí být nenulová hodnota na pozici reprezentující stěnu velikosti alespoň 6 /*TODO udělat jako pozorování/vlastnost v kapitole 1?*/).

Podobnou konstrukci tvoříme i pro graf typu (iv). V tomto případě za pomoci řetízků spojujeme odpovídající vrcholy rovnostranných, stejně velkých triarků T_1 a T_2 . Vzniknou dva typy oblastí - C při rozích triarku a D mezi odpovídajícími kusy stran triarků. Poznamenejme, že na obrázku je T_2 nakreslen "naruby" TODO lepší slovo?.



Obrázek 3.1: Vlevo konstrukce grafu typu (iii), konkrétně $(xk, xk, l + 1)$ -triarku s jádrem velikosti l , vpravo konstrukce grafu typu (iv).

Při hledání triarků byla vynaložena netriviální snaha pro nalezení způsobu, jak výsledný graf dobře zobrazit - od rovinného grafu by se dalo čekat, že nepůjde o příliš složitý úkol. Po špatné zkušenosti s dostupnými možnostmi jako GraphViz

nebo funkcemi v SageMath, došlo na implementaci kreslícího algoritmu založeného na Tuttově kreslení TODO zmínit odkaz a dál o kreslení nemluvit? Nebo popsat?

4. Formát PDF/A

Opatření rektora č. 13/2017 určuje, že elektronická podoba závěrečných prací musí být odevzdávána ve formátu PDF/A úrovně 1a nebo 2u. To jsou profily formátu PDF určující, jaké vlastnosti PDF je povoleno používat, aby byly dokumenty vhodné k dlouhodobé archivaci a dalšímu automatickému zpracování. Dále se budeme zabývat úrovní 2u, kterou sázíme \LaTeX .

Mezi nejdůležitější požadavky PDF/A-2u patří:

- Všechny fonty musí být zabudovány uvnitř dokumentu. Nejsou přípustné odkazy na externí fonty (ani na „systémové“, jako je Helvetica nebo Times).
- Fonty musí obsahovat tabulku ToUnicode, která definuje převod z kódování znaků použitého uvnitř fontu to Unicode. Díky tomu je možné z dokumentu spolehlivě extrahovat text.
- Dokument musí obsahovat metadata ve formátu XMP a je-li barevný, pak také formální specifikaci barevného prostoru.

Tato šablona používá balíček `pdfx`, který umí \LaTeX nastavit tak, aby požadavky PDF/A splňoval. Metadata v XMP se generují automaticky podle informací v souboru `prace.xmpdata` (na vygenerovaný soubor se můžete podívat v `pdfa.xmpi`).

Validitu PDF/A můžete zkontrolovat pomocí nástroje VeraPDF, který je k dispozici na <http://verapdf.org/>.

Pokud soubor nebude validní, mezi obvyklé příčiny patří používání méně obvyklých fontů (které se vkládají pouze v bitmapové podobě a/nebo bez unicodových tabulek) a vkládání obrázků v PDF, které samy o sobě standard PDF/A nesplňují.

Další postřehy o práci s PDF/A najdete na <http://mj.ucw.cz/vyuka/bc/pdfaq.html>.

Závěr

Seznam obrázků

2.1	Spojení dvou triarků za vzniku rovnoběžníku.	5
2.2	Spojení triarků spolu s rovnoběžníkem za vzniku triarku.	5
2.3	Spojení triarků prstencem za vzniku kubického grafu.	5
3.1	Vlevo konstrukce grafu typu (iii), konkrétně $(xk, xk, l + 1)$ -triarku s jádrem velikosti l , vpravo konstrukce grafu typu (iv).	8

Seznam tabulek

Seznam použitých zkratek

A. Přílohy

A.1 První příloha